

# تحلیل ظرفیت باربری پی‌های سطحی بر مبنای نتایج CPT

مهدی غلامی آهنگران  
کارشناس ارشد

ابوالفضل اسلامی  
استادیار

گروه عمران، دانشگاه فنی و مهندسی، دانشگاه گیلان

## پکیده

کاربرد آزمایش نفوذ مخروط، CPT به جهت اندازه‌گیری مشخصات و تهیه پروفیل پیوسته خاک و امکان تجهیز آن به ابزارهای مختلف اندازه‌گیری، توسعه روز افزونی در مطالعات و طراحی ژئوتکنیکی یافته است. مشابهت پنترومتر به عنوان مدل کوچکی از شمع و تمرکز تحقیقات در این زمینه، موجب شده تا اطلاعات نسبتاً محدودی در طراحی پی‌های سطحی از نتایج CPT در دسترس باشد. یک مدل تحلیل استاتیکی بر مبنای مکانیزم گسیختگی کلی از نوع اسپیرال لگاریتمی در پی‌های سطحی با شمول اثرات ابعاد پی و سربار اطراف و نیز چگونگی پردازش و میانگین گیری داده‌ها، برای تعیین مستقیم ظرفیت باربری با استفاده از مقاومت کف پنترومتر،  $q_c$  ارائه شده است. پنج روش مستقیم رایج تعیین توان باربری پی‌های سطحی در منابع ژئوتکنیکی بر مبنای نتایج CPT مورد نقد و بررسی قرار گرفته است. روش پیشنهادی و متدهای مستقیم موجود با داده‌های جمع‌آوری شده در یک بانک اطلاعاتی حاوی ۳۲ مورد نتایج CPT بهمراه آزمایش بارگذاری پی‌های سطحی و نیمه عمیق با ابعاد  $0.3 \times 3$  متر در پلان و با توان باربری نهایی خاک ذی‌بی بقدر  $15 \text{ kg/cm}^2$  ارزیابی و مقایسه شده‌اند. بررسی خطاهای نسبی و احتمال تجمعی حاصله نتایج مطلوب و خوشبینانه‌ای را برای روش جدید به همراه داشته و میتواند در طراحی‌های ژئوتکنیکی مورد ملاحظه قرار گیرد.

## کلمات کلیدی

آزمایش نفوذ مخروط - CPT، پی‌های سطحی، مقاومت کف -  $q_c$ ، ظرفیت باربری، تحلیل استاتیکی، گسیختگی برشی کلی

## Bearing Capacity Analysis of Shallow Foundations from CPT Data

A. Eslami  
Assistant Professor  
Gilan University, Department of Civil  
Engineering Rasht

M. Gholami  
M. Sc.  
Shame Consulting Co. Unit 23, No. 25, 9<sup>th</sup> -  
Farahanipoor Cross Yousefabad,

### Abstract

*Application of Cone Penetration Test, CPT have shown an increase in geotechnical design and site investigation due to measurement of soil characteristics, supplying continuous profile and incorporating a variety of sensors with it. Because of similarity between cone penetrometer and a model pile, research work has been concentrated in this field and therefore, there is a limited information for using CPT data in shallow foundation design. A static analytical model based on general shear failure mechanism of logarithm spiral has been developed for calculating directly bearing capacity of footings from  $q_c$ , by realizing foundation dimension, surcharge and data processing. Five current CPT direct methods for determining bearing capacity of footings have been investigated and criticized. The proposed method and five others were compared to the measured capacity ranging from 1.7 to 15  $\text{kg/cm}^2$  of 32 footings with the width range from 0.3 to 3m compiled in a data base. The statistical and cumulative probability approach for validation of predictive methods indicate favorable and optimistic results for proposed method and it can be considered in geotechnical practice.*

### Keywords

*Cone penetration Test-CPT, Shallow Foundations(Footings), Cone Resistance- $q_c$ , Bearing Capacity, Static Analysis, General Shear Failure*

## مقدمه

در آنالیز و طراحی پی‌ها معیارهای تعیین توان باربری، کنترل نشست، طراحی سازه‌ای و جنبه‌های کنترل پایداری مورد ملاحظه قرار می‌گیرند. از مهمترین مراحل در طراحی اینمی‌پی، تخمین مناسب ظرفیت باربری خاک بستر یا شالوده می‌باشد. ظرفیت باربری اصولاً به حداقل بار مطمئنی گفته می‌شود که میتوان بر خاک وارد نمود بطوریکه علاوه بر عدم گسیختگی خاک زیر پی، نشستی بیش از مقدار مجاز در زیر سازه که موجب آسیب پذیری سرویس‌دهی روسازه شود اتفاق نیافتد. لذا ظرفیت باربری از دو منظر بار نهایی گسیختگی (شرایط مقاومت، تعادل و پایداری) و نشست مجاز (شرایط بهره بوداری) در آنالیز و طراحی پی‌ها بکار گرفته می‌شود.

برای تعیین ظرفیت یا توان باربری پی‌ها اعم از سطحی و یا عمیق چهار روش متداول است:

- ۱- آنالیز استاتیکی<sup>۱</sup> مبتنی بر روابط تئوریک و استفاده از پارامترهای مقاومت برشی اندازگیری شده خاک
- ۲- آزمایش بارگذاری پی<sup>۲</sup>
- ۳- بکارگیری مقادیر توان باربری توصیه شده<sup>۳</sup> توسط کتابهای راهنمای و مراجع مهندسی پی
- ۴- استفاده از نتایج تستهای درجا<sup>۴</sup> بصورت مستقیم و غیرمستقیم

کاربری آزمایشات درجا در مهندسی ژئوتکنیک در دو دهه اخیر رواج زیادی داشته است و این به سبب فراهم آوری و ثبت نتایج پیوسته در عمق، سریع و اقتصادی بودن آنها، امکان تفسیر نتایج از دو جنبه تحلیلی و تجربی و تعیین رفتار خاک در شرایط واقعی می‌باشد. مزایای فوق سبب شده است که تستهای درجا به عنوان مکمل تستهای آزمایشگاهی دارای کاربرد فراوان در مهندسی ژئوتکنیک باشند. تست نفوذ مخروط<sup>۵</sup> CPT از اوایل قرن بیستم در مطالعات ژئوتکنیکی مورد استفاده قرار گرفته است. سرعت انجام ۲ cm/s و اندازه‌گیری‌های مختلف در هر اینچ (۲/۵ cm) از جمله مقاومت کف (q<sub>c</sub>)، اصطکاک جداری (f)، و اضافه فشار منفذی حین نفوذ (u) باعث گردیده است که مراحل سیر تکمیلی و بکارگیری آن در طراحی و مطالعات ژئوتکنیک از روند بیشتر و سریعتری نسبت به سایر تستهای درجا برخوردار باشد.

از کاربردهای عمدۀ داده‌های CPT در مهندسی ژئوتکنیک میتوان تعیین پروفیل زمین، طبقه‌بندی و تخمین پارامترهای مقاومت برشی و سختی خاک، ارزیابی پتانسیل روانگرایی و در نهایت تعیین توان باربری پی‌های عمیق و سطحی را نام برد. مشابهت عملکرد و عکس العمل خاک کف و اطراف در مقابل پنترومتر و نیز شمع تحت بارمحوری، باعث تمرکز تحقیقات استفاده از نتایج CPT دربررسی موارد مربوط به پی‌های عمیق (شمع) شده است. در این مقاله سعی شده است مکانیزم‌های مختلف استفاده از داده‌های CPT در تعیین توان باربری پی‌های سطحی تشریح و ضمن نقد و بررسی متدهای جاری، متدهای مستقیم جدیدی پیشنهاد و بر مبنای نتایج موارد عملی جمع‌آوری شده در یک بانک اطلاعاتی، قابلیت‌های روش پیشنهادی مورد سنجش قرار گیرد.

### ۱- روشهای غیر مستقیم تعیین توان باربری پی‌های سطحی بر اساس نتایج CPT

رابطه پایه تعیین توان باربری پی‌های سطحی نواری بصورت کلی زیر توسط ترزاوی در سال ۱۹۴۳ پیشنهاد شده است:

$$q_{ult} = cN_c + \bar{q}N_q + 0.5\gamma BN_f \quad (1)$$

که در آن  $c$  چسبندگی،  $\bar{q}$  سربار و برابر  $D_f$ ،  $D_f$  عمق استقرارپی،  $\gamma$  وزن مخصوص خاک،  $B$  عرض پی و  $N_c, N_q, N_u$  ضرائب باربری و عموماً تابعی از  $\varphi$  می‌باشد. رابطه پایه فوق توسط محققین مختلف با اعمال اصلاحاتی برای شکل، عمق استقرار، تمایل بار، شیب زمین و کف پی در عمل بکار گرفته می‌شود. در حالت زهکشی نشده در رس‌ها و برای تحلیل‌های پایداری در کوتاه مدت رابطه توان باربری بصورت زیر می‌باشد:

$$q_{ult} = S_u N_c + \bar{q} \quad (2)$$

که  $S_u$  مقاومت برشی زهکشی نشده خاک می‌باشد. در مورد پی‌های عمیق با توجه به کوچک بودن قطر و یا بعد پی در پلان (B) و در خاکهای غیرچسبنده رابطه پایه توان باربری بصورت زیر خلاصه می‌شود:

$$q_{ult} = \bar{q} N_q \quad (3)$$

که  $N_q$  در این حالت با توجه به مکانیزم گسیختگی در پی عمیق متفاوت از مقدار  $N_s$  برای پی سطحی می‌باشد. نتایج CPT به دو صورت مستقیم و غیرمستقیم در تعیین توان باربری بکار گرفته می‌شود. در روش مستقیم توان باربری نهائی مستقیماً و با اعمال یک ضریب به صورت تجربی و نیمه تجربی به  $\bar{q}_c$  ربط داده می‌شود. در روش غیرمستقیم بر مبنای تحلیل‌های تئوریک مقادیر  $c$  و  $\phi$  از داده‌های مخروط نظریه  $\bar{q}_c$  و  $\bar{q}_s$  بدست آمده و سپس به کمک روابط فوق توان باربری تعیین می‌شود.

تئوریهای مختلفی در تعیین مقاومت برشی زهکشی شده ماسه ( $\varphi$ ) از مقاومت کف مخروط استفاده شده است که از جمله میتوان تئوری ظرفیت باربری و تئوری انبساط حفره را نام برد. دوروش جانبوسنست (1987) & JanbuSenese & در گانوگلو - میچل (1975) Dorgunoglu & Mitchell برپایه تئوری ظرفیت باربری می‌باشد. وسیک در سال ۱۹۷۲ تئوری انبساط حفره را در تعیین پارامتر مقاومت برشی مورد استفاده قرارداد. از روشهای موجود دیگر در تعیین پارامترهای مقاومت برشی، تستهای محافظه کالیبراسیون می‌باشد که نمودارهایی توسط رابرتسون و کمپنلا (1986) Robertson & Campanella برای ماسه‌های با تراکم‌پذیری متوسط و غیرسیمانه ارائه شده است. یک نمونه تعیین مقدار زاویه اصطکاک داخلی بر مبنای تنش موثر و مقاومت کف مخروط ( $q_c$ ) در شکل ۱ نشان داده شده است [1].

در خاکهای چسبنده اغلب مقاومت برشی زهکشی نشده ( $S_u$ ) بوسیله رابطه زیر با مقاومت کف مخروط ارتباط داده شده است:

$$S_u = \frac{q_c - \sigma_v}{N_k} \quad (4)$$

که در آن  $\sigma$  تنش کل سربار در عمق اندازه‌گیری و  $\sigma_v$  ضریب مخروط بوده که مقدار آن برای خاکهای تحکیم عادی ۱۰ تا ۱۵ و برای خاکهای پیش تحکیم ۱۵ تا ۲۵ توصیه شده است.

و همچنین میتوان  $S_u$  را از اصطکاک جداری CPT، ( $f_s$ ) بر اساس معادله زیر به بدست آورد [1].

$$S_u = (0.8 - 1)f_s \quad (5)$$

## ۲- روشهای مستقیم تعیین توان باربری پی‌های سطحی بر اساس نتایج CPT

از روشهای مستقیم CPT که توان باربری نهایی کف پی،  $q_{ult}$  را مستقیماً به مقاومت کف مخروط،  $q_c$  ربط میدهدند، میتوان به موارد ذیل که بین مهندسین ژئوتکنیک بیشتر متداول می‌باشد اشاره نمود:

### ۱-۱- روش اشمرتمن [2] (Schmertmann, 1978)

اشمرتمن در سال ۱۹۷۸ رابطه بین میانگین مقاومت کف مخروط و ضرایب ظرفیت باربری ترزاقی را بصورت زیر پیشنهاد نمود:

$$N_q = N_\gamma = 1.25 \bar{q}_c \quad (6)$$

$\bar{q}_c$  : میانگین مقاومت کف مخروط بر حسب (ton/ft<sup>2</sup>) که از رابطه زیر محاسبه می‌شود:

$$\bar{q}_c = \sqrt{q_{c1} \times q_{c2}} \quad (7)$$

$q_{c1}$ : میانگین حسابی مقاومت کف مخروط در محدوده بین ترازکف پی و نصف عرض پی در زیرپی برحسب (ton/ft<sup>2</sup>)  
 $q_{c2}$ : میانگین حسابی مقاومت کف مخروط در محدوده بین تراز نصف عرض پی تا یک و نیم برابر عرض پی زیرپی برحسب (ton/ft<sup>2</sup>)

#### ۲-۱- روش مایرهاوف [Meyerhof, 1956] [1]

مایرهاوف در سال ۱۹۵۶ رابطه زیر را جهت تعیین ظرفیت باربری نهایی خاکهای دانه‌ای پیشنهاد نمود:

$$q_{ult} = \bar{q}_c \left( \frac{B}{40} \right) \left( 1 + \frac{D_f}{B} \right) \quad (8)$$

ظرفیت باربری نهایی برحسب  $D_f$  (ton/ft<sup>2</sup>) و  $B$  (ton/ft<sup>2</sup>) به ترتیب عرض و عمق استقرار پی برحسب فوت  
 $\bar{q}_c$ : میانگین حسابی مقاومت کف مخروط در محدوده تراز کف تا یک برابر عرض پی زیر پی برحسب (ton/ft<sup>2</sup>)  
 ضریب اطمینان حداقل ۳ جهت بدست آوردن ظرفیت باربری مجاز توسط مایرهاوف پیشنهاد شده است.

#### ۲-۲- روش اوکاتی [Owkati, 1970] [3]

اوکاتی در سال ۱۹۷۰ روابط زیر را در تعیین توان باربری پی‌های سطحی پیشنهاد نمود:  
 در خاکهای دانه‌ای:

$$q_{ult} = 28 - 0.0052(300 - \bar{q}_c)^{1.5} \quad \text{برای پی‌های نواری} \quad (9)$$

$$q_{ult} = 48 - 0.009(300 - \bar{q}_c)^{1.5} \quad \text{برای پی‌های مریع} \quad (10)$$

و در خاکهای چسبنده:

$$q_{ult} = 2 + 0.28\bar{q}_c \quad \text{برای پی‌های نواری} \quad (11)$$

$$q_{ult} = 5 + 0.34\bar{q}_c \quad \text{برای پی‌های مریع} \quad (12)$$

در روابط فوق  $\bar{q}_c$  میانگین حسابی مقاومت کف مخروط در محدوده کف پی تا ۱/۵ برابر عرض پی زیر پی برحسب کیلوگرم بر سانتی متر مریع می‌باشد.

#### ۲-۳- روش آئین نامه مهندسی پی کانادا [CFEM<sup>6</sup>, 1992] [4]

آئین نامه مهندسی پی کانادا در پی‌های سطحی که معمولاً دارای عمق استقرار حدود ۱ متر می‌باشند، ظرفیت باربری مجاز را بصورت زیر پیشنهاد نموده است:

$$q_a = 0.10 \bar{q}_c \quad (13)$$

$q_a$ : ظرفیت باربری مجاز  
 با در نظر گیری ضریب اطمینان ۳ در مهندسی پی، ظرفیت باربری نهایی طبق رابطه زیر تعیین می‌شود:

$$q_{ult} = 0.30 \bar{q}_c$$

## ۲-۵- روش اسلامیزاد و رابرتسون [5] (Eslaamizaad and Robertson, 1996)

اسلامیزاد و رابرتسون در سال ۱۹۹۶ با نگرشی بر روابط پیشنهادی مایرهاوف در تعیین توان باربری پیهای سطحی و عمیق و با استفاده از نتایج ۹ مورد عملی پی سطحی مشتمل برآزمایش بارگذاری پی و CPT در مجاورت آنها، و با منظور نمودن اثر سایز و عمق پی، رابطه‌ای بر اساس شکل شماره ۲ را در تعیین توان باربری پیهای سطحی واقع بر ماسه با سیماناتسیون کم ارائه نمودند.  $\bar{q}_c$  در نمودار ارائه شده برای پیهای سطحی،  $B_r < D_r$ ، میانگین مقاومت کف مخروط در ناحیه کف پی تایک برابر عرض پی زیر آن و در حالت  $D_r > B_r$  میانگین مقاومت کف مخروط در ناحیه  $1/5$  برابر عرض پی زیر و بالای کف پی پیشنهاد شده است.

## ۳- نقدی بر روش‌های مستقیم موجود

با مروری بر روش‌های مستقیم موجود اشکالات و کاستی‌هایی به شرح ذیل برای آنها مترتب می‌باشد: روش اشمرتمن با نگرشی بر روابط تعیین ظرفیت باربری با استفاده از نتایج آزمایشگاهی پیشنهاد شده است. تحقیقات مدلسازی پیهای با ابعاد بزرگ در تست‌های سانتریفیوژ نشان داده است که ضریب ظرفیت باربری  $N_r$  با فرض ثابت بودن خاک وابسته به ابعاد پی می‌باشد و با افزایش ابعاد پی ضریب فوق کاهش می‌یابد. لذا با افزایش ابعاد پی روش اشمرتمن ممکن است خطاهای قابل ملاحظه‌ای داشته باشد. [6]

در تعیین  $q_{ult}$  یا توان باربری نهایی پی به مقاومت متوسط مخروط اشاره شده است که اولاً به محدوده میانگین‌گیری و ثانیاً چگونگی حذف مقادیر خیلی بزرگتر و کوچکتر اشاره‌ای نشده است. روش خاصی برای فیلتراسیون داده‌ها ارائه نگردیده که مقادیر بدست آمده متوسط مربوط به  $q_c$  و متعاقب آن ظرفیت باربری نهایی عموماً با اثرگذاری توسط اپراتور مواجه می‌باشد. اغلب متدی‌های مستقیم شرح داده شده مانند اشمرتمن، مایرهاوف، اوکاتی و آئین نامه مهندسی پی کانادا مربوط به حدود دو دهه پیش بوده که هنوز CPT های الکتریکی و پیزوپنترمتر CPTu به همراه اندازه‌گیری فشار اضافی منفذی در حین نفوذ،  $u$  که داده‌های دقیقتر و کاملتری را فراهم مینمایند رایج نبودند.

با در نظر گرفتن مدل گوه گسیختگی زیر پی مطابق فرضیات تئوریهای رایج ظرفیت باربری و یا در صورت وجود لایه‌های ضعیف زیر لایه‌های متراکم کف پی، عمق موثر در تعیین مقاومت نهایی پی بیش از عرض پی می‌باشد در حالیکه در روش‌های ارائه شده ناحیه محدودی در تعیین میانگین مقاومت کف مخروط و ارتباط آن با  $q_{ult}$  پیشنهاد شده است و بعلاوه اثراً تغییرات پارامترهای مقاومت خاک مستتر در مقادیر  $q_c$  برای خاک بالای کف پی نیز منظور نشده است.

## ۴- مدل تحلیلی تعیین مستقیم ظرفیت باربری پیهای سطحی با استفاده از نتایج CPT

توان باربری پی‌ها متأثر از طبیعت خاک و گسترش ناحیه گسیختگی بوده و گسترش سطح گسیختگی در پیهای سطحی به سه عامل ابعاد پی، عمق نسبی پی و نوع خاک بستگی دارد. در شکل ۳ - الف مکانیزم گسیختگی در زیر پیهای سطحی جهت حصول رابطه پایه توان باربری و شکل ۳ - ب نوعی مکانیزم گسیختگی را برای پیهای عمیق نشان می‌دهد که سطوح گسیختگی به بدنه پی عمیق در حوالی کف شمع میل می‌کنند.

مایرهاوف با توجه به نتایج تست‌های بارگذاری شمع، مکانیزم گسیختگی کف شمع را به صورت اسپیرال لگاریتمی فرض نمود که منحنی اسپیرال لگاریتمی فرضی تابعی از زاویه اصطکاک داخلی (نوع خاک) و ابعاد شمع بوده و عمق نسبی مورد نیاز جهت تجهیز کامل مقاومت برشی در کل سطح گسیختگی اسپیرال لگاریتمی به عنوان عمق بحرانی پیشنهاد شد. عبارت دیگر یک نفوذ حداقل برابر عمق بحرانی (حدود ده برابر قطر شمع) جهت تامین مقاومت کف ماکزیمم شمع پیشنهاد شد. برای عمق نفوذ‌های کمتر از عمق بحرانی، با توجه به نتایج تست‌های بارگذاری شمع، یک کاهش خطی مقاومت کف شمع با توجه به نسبت عمق نسبی نفوذ شمع به عمق نسبی بحرانی پیشنهاد شد. [7]

تحقیقات دبیر (De beer, 1963) نشان داد که در شمع‌های با جابجایی و بدون جابجایی و مستقر در لایه باربر به اندازه

کافی، مقاومت واحد در کف پی عمیق تقریباً برابر با مقاومت کف تست نفوذ مخروط می‌باشد. اسلامی و فلینیوس [8,9] (Eslami & Fellenius 1996, 1997) با مقایسه ۱۰۲ مورد عملی که مقاومت کف شمع تحت بارگذاری اندازه‌گیری شده و در CPTu و CPT انجام شده، نشان دادند یک رابطه یک به یک بین میانگین هندسی مقاومت موثرکف مخروط در محدوده موثر در حوالی کف شمع و مقاومت انتهایی کف شمع وجود دارد. بر اساس تحقیقات فوق نفوذی معادل ۱۰ برابر قطر شمع و یا پنترومتر موجب تبدیل مکانیزم گسیختگی از نوع سطحی به نوع عمیق و یا شمعکی شده و بعبارتی با پیشروی مسیر گسیختگی از کف پی و در نهایت میل آن به بدنه میتوان مستقل از قطر پنترومتر شمع و یا حتی عرض پی سطحی با بسیج تمامی عوامل مقاوم در مقاومت برشی نتایج یکسانی را برای توان باربری داشت. چنین مفهومی در شکل ۳ توسط ناتینگهام [10] (Nottingham 1975) تصویر شده است.

تحقیقات ناریتا و یاماگوشی [11] (Narita & Yamaguchi 1989) نشان داد که مکانیزم گسیختگی اسپیرال لگاریتمی در پی‌های سطحی تطابق خوبی با تئوری ظرفیت باربری دارد. و بعلاوه باولز [3] (Bowles 1996) در ارتباط با بکارگیری رابطه پایه توان باربری در مجاورت سطوح شیب دار به کاهش مقادیر  $N_q$ ,  $N_c$ ,  $N_s$  اشاره نمود که اولی بر اساس کاهش طول گسیختگی و دومی بر اساس کاهش سر بر خاک در مجاورت شیب اصلاح می‌شود. روابط توان باربری برای پی‌های سطحی و عمیق در حالت تعادل حدی با معادل قرار دادن نیروهای و یا لنگرهای مقاوم و محرك بدست آمده که در روابط حاصله اثرات نوع خاک در قالب پارامترهای  $c$  و  $\phi$ ، طول مسیر گسیختگی از کف پی به سطح زمین و یا بدنه پی، و نیز میزان سر بر به عنوان عوامل مقاوم و فشار وارد روی پی بعنوان عوامل محرك مطرح می‌باشند. که در مجموع برای پی‌های سطحی طول مسیر گسیختگی، و برای پی‌های عمیق عمق استقرار نقش عمداتی را در برابری ایفا می‌کنند.

بر اساس تحقیقات صورت گرفته و ارتباط بین مقاومت کف شمع و مقاومت کف  $CPT$ ،  $(q)$  و در گذار از پی سطحی به پی عمیق و تبدیل و تغییر مکانیزم گسیختگی که در آن برای پی‌های سطحی طول مسیر و در پی‌های عمیق سر بر خاک اطراف (معادل گرفته شده با سطح خاک کف پی به بالا روی ناحیه گسیخته شده در زیر پی) رل مهمی را در رابطه توان باربری به عهده دارند، رابطه مستقیم بین توان باربری پی‌های سطحی و نیز مقادیر مقاومت کف بدست آمده توسط پنترومتر با  $CPT$  که از نوع عمیق بوده بصورت زیر پیشنهاد می‌شود:

$$q_{ult} = \bar{\alpha} \times \bar{q}_{c,g} \quad (15)$$

$$\bar{\alpha} = \frac{\alpha_1 + \alpha_2}{2} \quad (16)$$

$$\alpha_1 = \frac{L_g}{L_o} \quad (17)$$

$$\alpha_2 = \frac{A_g}{A_o} \quad (18)$$

در روابط بالا:

$\alpha_1$ : ضریب اصلاح اثر طول مسیر گسیختگی در حالت تغییر پی سطحی به پی عمیق

$\alpha_2$ : ضریب اصلاح اثر سربار در حالت تغییر پی سطحی به پی عمیق

$\bar{\alpha}$  : میانگین حسابی ضرایب اصلاح طول مسیر گسیختگی ( $\alpha_1$ ) و سربار ( $\alpha_2$ )

$\bar{q}_{c,g}$  : میانگین هندسی مقاومت کف مخروط در محدوده سطح زمین تا دو برابر عرض زیر پی

مقادیر  $A_o$ ,  $L_o$ ,  $A_g$ ,  $L_g$  در شکل ۴ نشان داده شده است که در زیر به چگونگی تعیین آنها پرداخته شده مضافاً به اینکه راهکاری برای تعیین میانگین مقادیر  $q$  در کف و اطراف پی نیز پیشنهاد می‌گردد. تحلیل دقیق ظرفیت باربری پی‌ها از مسائل

پیچیده‌زئوتکنیکی بوده و اغلب روش‌های موجود تجربی بوده و کمتر از تحلیل دقیق ریاضی نتیجه شده است.<sup>[12]</sup> در مقاله ارائه شده هدف تعیین منطقی ضرایب توان باربری پی‌های سطحی بر مبنای داده‌های CPT می‌باشد. در ادامه ابتدا اثر تفاوت طول مسیر گسیختگی و سپس اثر تفاوت سربار به طور مجزا بررسی شده و سپس اثر توأم آن در مدل مورد استفاده قرار می‌گیرد. مطابق شکل ۴-الف با فرض مکانیزم گسیختگی اسپیرال لگاریتمی و گوه گسیختگی زیر پی مطابق با روش سنتی تعیین توان باربری با زاویه راس گوه گسیختگی زیر پی بقرار  $(\phi/2 + 45)$ ، شاع منحنی اسپیرال لگاریتمی در هر نقطه از رابطه زیر تعیین می‌شود:

$$r = r_0 e^{\theta \operatorname{tg} \phi} \quad (19)$$

$$r_0 = \frac{B}{2} \operatorname{tg}(\pi/4 + \phi/2) \times \frac{1}{\cos(\pi/4 - \phi/2)} \quad (20)$$

$$r = \frac{B}{2} \operatorname{tg}(\pi/4 + \phi/2) \times \frac{1}{\cos(\pi/4 - \phi/2)} e^{\theta \operatorname{tg} \phi} \quad (21)$$

که در آن  $\phi$  تابعی از نسبت مقاومت کف مخروط به تنش موثر آن نقطه می‌باشد. تاکنون روابط مختلفی توسط محققین در تعیین  $\phi$  ارائه گردیده است در شکل شماره ۵ رابطه مورد استفاده در مدل و تئوری پیشنهادی دبیر [3] (De beer 1970) ارائه شده است. رابطه ساده شده زیر در بسط مدل تحلیلی پیشنهادی مورد استفاده قرار گرفته است.

$$\phi = \frac{\log\left(\frac{q_c}{\gamma' z}\right) + 0.5095}{0.0915} \quad (22)$$

$\gamma':$  تنش موثر در عمق

$\frac{q_c}{\gamma' z}$ : میانگین هندسی نسبت مقاومت کف مخروط به تنش موثر لایه در آن محل در ناحیه سطح زمین تا دو برابر عرض پی

عمق نسبی (نسبت عمق به عرض پی) هر نقطه از منحنی گسیختگی با استفاده از رابطه زیر تعیین می‌شود:

$$D/B = \frac{\operatorname{tg}(\pi/4 + \phi/2) e^{\theta \operatorname{tg} \phi}}{2 \cos(\pi/4 - \phi/2)} \times \sin(\theta - 3\pi/4 + \phi/2) \quad (23)$$

با فرض مکانیزم گسیختگی اسپیرال لگاریتمی ابتدا رابطه تعیین طول مسیر گسیختگی تعیین می‌شود و سپس نسبت طول مسیر گسیختگی در پی‌های سطحی به پی‌های عمیق تعیین می‌شود. جهت ساده سازی محاسبات فرض می‌شود:

$$r = B/2 \operatorname{tg}(\pi/4 + \phi/2) \times \frac{1}{\cos(\pi/4 - \phi/2)} e^{\theta \operatorname{tg} \phi} = m e^{\theta \operatorname{tg} \phi} \quad (24)$$

$$L_x = \frac{m \sqrt{1 + \operatorname{tg}^2 \phi}}{\operatorname{tg} \phi} \times (e^{x \operatorname{tg} \phi} - 1) \quad (25)$$

لذا نسبت طول مسیر گسیختگی در پی‌های سطحی و عمیق مطابق زیر می‌باشد:

$$\alpha_1 = \frac{L_\theta}{L_{\theta=(\pi+\pi/4-\phi/2)}} = \frac{\frac{m\sqrt{1+tg^2\phi}}{tg\phi}(e^{\theta tg\phi}-1)}{\frac{m\sqrt{1+tg^2\phi}}{tg\phi}(e^{(5\pi/4-\phi/2)}-1)} = \frac{e^{\theta tg\phi}-1}{e^{(5\pi/4-\phi/2)}-1} \quad (26)$$

$$\alpha_1 = \frac{e^{\theta tg\phi}-1}{e^{(5\pi/4-\phi/2)}-1} \quad (27)$$

شکل ۶- الف اثر تغییرات  $\phi$ ، عمق نسبی و عرض نسبی (نسبت عرض پی به عمق آن) را بر ضریب  $\alpha_1$  نشان میدهد. در پی‌های سطحی اثر سربار به دلیل عمق نسبی محدود  $D/B \leq 1$  بسیار محدودتر از اثر سربار در پی‌های عمیق بوده و بنابر این مقاومت برشی خاک در ناحیه گسیختگی در پی‌های عمیق بیشتر از پی‌های سطحی می‌باشد. با فرض مکانیزم گسیختگی اسپیرال لگاریتمی، اثر تفاوت سربار مطابق شکل ۴- ب از نسبت سطح بالای کف پی در دو حالت پی سطحی و عمیق محاسبه می‌شود. در این مرحله ابتدا فرمول محاسبه سطح منحنی اسپیرال لگاریتمی محاسبه می‌شود و سپس نسبت دو سطح فوق بعنوان ضریب کاهش اثر تفاوت سر بار در نظر گرفته می‌شود.

$$A_\theta = \frac{m^2}{4tg\phi}(e^{2\theta tg\phi}-1) \quad (28)$$

$$\alpha_2 = \frac{A_\theta}{A_0} = \frac{\frac{m^2}{4tg\phi}(e^{2\theta tg\phi}-e^{2(\pi/4-\phi/2+\pi/4)})}{\frac{m^2}{4tg\phi}(e^{2(\pi+\pi/4-\phi/2)}-e^{2(\pi/4-\phi/2+\pi/2)})} \quad (29)$$

لذا ضریب نسبت سر بار در پی‌های سطحی به عمیق بصورت زیر می‌باشد:

$$\alpha_2 = \frac{e^{2\theta tg\phi}-e^{2(3\pi/4-\phi/2)}}{e^{2(5\pi/4-\phi/2)}-e^{2(3\pi/4-\phi/2)}} \quad (30)$$

در شکل ۶- ب تغییرات ضریب  $\alpha_2$  بر حسب عمق نسبی و عرض نسبی با تغییر زاویه  $\phi$  نشان داده شده است. جهت محاسبه ضریب ظرفیت برابری مقادیر متوسط حسابی  $\alpha_1$  و  $\alpha_2$  بقرار  $\bar{\alpha}$  در نظر گرفته شده که ضمن اعمال به میانگین مقادیر  $q_{ult}$  توان برابری نهایی پی سطحی بدست می‌آید. تغییرات  $\bar{\alpha}$  در شکل ۶- ج نشان داده شده است. تغییرات مقاومت نفوذ مخروط در ناحیه موثر تنفس بوسیله میانگین گیری از مقاومت نوک مخروط در ناحیه موثر تنفس لحاظ می‌شود و هر چه این میانگین گیری مناسبتر باشد، حصول نتایج دقیقترا رابدنبال خواهد داشت. دونوع معمول میانگین گیری بعبارت میانگین گیری حسابی و هندسی در محاسبات ژئوتکنیکی متداول می‌باشد. بطور کلی میانگین حسابی و تاثیر مقدار مطلق داده‌ها و میانگین هندسی میانگین نسبت داده‌ها می‌باشد. از محاسن میانگین حسابی سادگی محاسبه و تاثیر اندازه یک داده‌ها در این محاسبه می‌باشد با این حال داده‌های بسیار بزرگ یا بسیار کوچک بر میانگین حسابی اثر غیر عادی دارد و باعث می‌شوند که میانگین حسابی معیار خوبی برای شاخص داده‌ها نباشد بعنوان مثال برای داده‌های ۲، ۳، ۴، ۵، ۶، ۷، ۸، ۹، ۱۰، ۱۱، ۱۲، ۱۳، ۱۴، ۱۵ بعلت بزرگی داده ۱۵، میانگین حسابی عدد ۱۵ می‌شود که از اکثر داده‌ها بزرگتر می‌باشد. واضح است که برای این داده‌ها عدد ۱۵ نمیتواند معیار و شاخص مناسبی باشد زیرا با اکثر داده‌ها تفاوت زیاد دارد از طرفی میانگین هندسی داده‌های فوق  $7/30$  می‌باشد که معیار تمرکز نسبی و شاخص قابل قبولتری برای داده‌های فوق می‌باشد. از آنجا که مقاومت نفوذ مخروط حتی در یک محدوده کوچک میتواند تغییرات قابل ملاحظه‌ای داشته باشد، میانگین گیری هندسی نتایج مناسبتری در تعیین مقاومت متوسط ارائه می‌دهد. پس از پردازش داده‌ها، در صورت وجود اضافه فشار منفذی باید متوسط مقادیر  $\bar{\alpha}$  را از  $q_{ult}$  کم نموده تا توان برابری موثر در شرایط زهکشی شده و تحلیل دراز مدت به دست آید.

در مجموع متدهای پیشنهادی بصورت گام به گام جهت تعیین توان باربری به صورت زیر خلاصه می‌شود:

۱- محدوده سطح زمین تا 2B کف پی را به لایه‌های تقسیم نموده و یا بر اساس فواصل تعیین مقادیر  $q_c$ ، CPT، مقادیر میانگین هندسی  $\bar{q}_{c,g}$  و نسبت مقاومت کف مخروط به تنش موثر آن نقطه  $(\frac{\bar{q}_c}{\gamma' z})$  را در لایه‌های مختلف تعیین می‌گردد.

۲- با توجه به مقدار میانگین نسبت مقاومت کف مخروط به تنش موثر مقدار  $f(\frac{\bar{q}_c}{\gamma' z}) = \phi$  از رابطه ۲۲ و یا شکل ۵ مشخص می‌شود.

۳- با توجه به عمق نسبی استقرار پی و مقدار  $\phi$  محاسباتی ضریب ظرفیت باربری  $\alpha = \frac{\alpha_1 + \alpha_2}{2}$  از شکل‌های ۶-ج یا جدول ۱ بدست می‌آید.

۴- توان باربری نهایی پی سطحی از حاصلضرب ضریب ظرفیت باربری، در میانگین هندسی مقاومت کف مخروط محاسبه می‌شود. یعنی  $q_{ult} = \bar{\alpha} \times \bar{q}_{c,g}$

## ۵- بانک اطلاعاتی جهت ارزیابی روش‌های موجود و روش پیشنهادی

اطلاعات گستردگی از تستهای بارگذاری انجام شده روی پیهای سطحی و نتایج CPT انجام شده در کنار آنها در یک بانک اطلاعاتی تدوین، که از میان آنها تعداد ۳۲ مورد عملی از هفت سایت انتخاب شد. موارد عملی شامل نتایج بارگذاری پی و صفحات بارگذاری با ابعاد بین  $0/3 \times 0/0$  تا  $3 \times 0/5$  متر و عمق نسبی بین  $0 \text{ } \text{m}$  تا  $2/5 \text{ } \text{m}$  متر بوده که علاوه بر بارگذاری در کنار آنها CPT حداقل تا عمق ۲ برابر عرض پی در زیر پی صورت گرفته و خاک زیر پی در غالب موارد از نوع ماسه با دانه بندی یکنواخت، ماسه لایدار و ماسه رس دار و در مواردی رس ماسه دار با حد روانی پایین بوده است. توان باربری اندازه‌گیری شده بین  $1/7 \text{ kg/cm}^2$  تا  $1/5 \text{ kg/cm}^2$  بوده است. در تعیین توان باربری نهایی معیار نشست  $10\%$  ابعاد پی در دیاگرام تنش - جابجایی که توسط محققینی نظری بریاد و گیبسن [13] (Briaud & Gibbens 1999) نیز توصیه شده و یا نقطه‌ای از منحنی بارگذاری - نشست که شیب نمودار بارگذاری - نشست به حالت افقی و یا به مینیمم حالت پایدار می‌رسد، بعنوان بار نهایی انتخاب شده است.

در جدول ۲ خلاصه‌ای از مشخصات خاک در موارد عملی مورد استفاده ارائه شده است. در جدول شماره ۳ مشخصات ابعادی، ظرفیت باربری اندازه‌گیری شده و مراجع مربوط به سایتها مختلف جمع‌آوری شده است. شکل ۷ مواردی از نتایج CPT مورد استفاده در بعضی سایتها و نیز نتایج بارگذاری - نشست را نشان میدهد.

جهت تشریح متدهای پیشنهادی مراحل گام به گام مربوط به آن برای یک مورد عملی بصورت حل عددی مرور می‌شود.

## حل یک مثال عملی

نتایج CPT کنار یک پی یک متری (اقتباس شده از سایت شماره ۱) در شکل شماره ۷ شامل دیاگرامهای تغییرات  $q_c$  بر حسب عمق و رابطه فشار - جابجایی برای پی تحت ازمایش بارگذاری نشان داده شده است.

مراحل گام بگام محاسبه ظرفیت باربری پی بر اساس متدهای پیشنهادی بصورت زیر می‌باشد:

**گام اول:** محاسبه  $\bar{q}_c$  و  $\frac{\bar{q}_c}{\gamma' z}$  در محدوده تاثیر سطح زمین تا 2B کف پی

$$\bar{q}_{cg} = \sqrt[14]{q_{c1} * q_{c2} * \dots * q_{c14}} = 73.10 \text{ kg/cm}^2$$

$$\frac{\bar{q}_c}{\gamma' z} = \sqrt[14]{\frac{q_{c1}}{\gamma' z_1} * \frac{q_{c2}}{\gamma' z_2} * \dots * \frac{q_{c14}}{\gamma' z_{14}}} = 290.50$$

$$\text{گام دوم: محاسبه } \phi \text{ با استفاده از رابطه ۵} = \frac{\log(\frac{q_c}{\gamma' z}) + 0.5095}{0.0915}$$

$$\phi = \frac{\log(\frac{q_c}{\gamma' z}) + 0.5095}{0.0915} = 32.50$$

**گام سوم: محاسبه  $\bar{\alpha}$  بر حسب  $D = 0/71m$  و  $B = 1 m$  با استفاده از شکل شماره ۶-ج و یا جدول ۱**

$$\bar{\alpha} = \frac{\alpha_1 + \alpha_2}{2} = 0.1905$$

**گام چهارم: محاسبه  $q_{ult}$  با استفاده از رابطه پایه پیشنهادی یعنی:**

$$q_{ult} = \bar{\alpha} \times \bar{q}_c = 0.1905 \times 73.10 = 13.90 \text{ kg/cm}^2$$

لازم به ذکر است که با توجه به نتایج بارگذاری پی فوق (شکل شماره ۷) مقدار ظرفیت باربری نهایی بقرار  $15 \text{ kg/cm}^2$  اندازه‌گیری شده است.

## ۶- ارزیابی مدل ارائه شده و روش‌های موجود با استفاده از موارد عملی

نتایج ۳۲ مورد عملی شامل نتایج بارگذاری پی و صفحات بارگذاری با ابعاد  $3/0 \times 3$  متر و عمق نسبی بین  $0 \text{ تا } 2/50$  جهت ارزیابی روش‌های موجود و روش پیشنهادی مورد استفاده قرار گرفته است. دو روش آماری و احتمال در ارزیابی متدها بکار گرفته شده است. در روش اول ارزیابی روشها در پیش‌بینی توان باربری مطالعات آماری بر مبنای خطای نسبی بوده که مطابق رابطه زیر محاسبه می‌شود:

$$E_r = \frac{q_{ult,Cal.} - q_{ult,Mes}}{q_{ult,Mes}} \quad (31)$$

که در آن  $q_{ult,Cal.}$  و  $q_{ult,Mes}$  مقادیر توان باربری محاسباتی و اندازه‌گیری شده می‌باشند.  
میانگین خطای نسبی مطابق رابطه زیر تعریف می‌شود:

$$\bar{E}_r = \frac{1}{n} \sum_{i=1}^n E_{ri} \quad (32)$$

همچنین انحراف معیار مطابق رابطه زیر محاسبه می‌شود:

$$SD = \sqrt{\frac{1}{n-1} \sum (E_{ri} - \bar{E}_r)^2} \quad (33)$$

با توجه به اینکه مقادیر مثبت و منفی خطای نسبی در میانگین گیری ممکن است یکدیگر را خنثی کنند، لذا میانگین قدر مطلق خطای نسبی تحت عنوان خطای مطلق نیز جهت مقایسه بکار گرفته شده است:

$$|\bar{E}_r| = \frac{1}{n} \sum_{i=1}^n |E_{ri}| \quad (34)$$

محاسبات خطها در پیش‌بینی توان باربری نشان داده است که روش پیشنهادی برای ۳۲ مورد عملی پی سطحی دارای خطای نسبی متوسط ۴٪ و انحراف معیار خطای نسبی ۱۹٪ میباشد. روش رابرتسون و اسلامیزاد خطای متوسط ۲٪ و انحراف معیار ۳۲٪، روش مایر هووف خطای متوسط ۳۵٪ و انحراف معیار ۵۸٪، روش اشمرتمن خطای متوسط ۳٪ و انحراف معیار ۹۹٪، روش آئین نامه مهندسی پی کانادا، CFEM خطای متوسط ۴۹٪ و انحراف معیار ۷۲٪ و نیز روش اوکاتی خطای متوسط ۶۲٪ و انحراف معیار ۶۳٪ را در برداشته‌اند.

همچنین میانگین مقادیر مطلق خطها برای روش پیشنهادی بقرار ۱۵٪ با انحراف معیار ۱۲٪ و برای ۵ روش دیگر متوسط خطاهای مطلق ۶۱٪ و متوسط انحراف معیار ۴۱٪ بوده که جزئیات در جدول شماره ۴ مشخص شده است.

در روش دوم ارزیابی روشها در پیش‌بینی توان باربری از فراوانی تجمعی خطها بعنوان یک روش تعیین پراکندگی داده‌های آماری استفاده شده است. برای موارد عملی موجود نسبت ظرفیت باربری محاسباتی به ظرفیت باربری اندازه‌گیری شده را بر حسب اندازه مرتب نموده و فراوانی تجمعی خطها (P) برای مقادیر فوق از رابطه زیر تعیین میگردد. (Long&Shimel [14]

$$P = \frac{i}{n+1} \quad (35)$$

P : فراوانی تجمعی خطها

i : تعداد داده‌ها برای محاسبه P

n : تعداد کل داده‌ها

همچنین لانگ و شیمل [14] بیان نموده‌اند هرچه که نسبت مقادیر ظرفیت باربری محاسباتی به ظرفیت باربری اندازه‌گیری شده در نمایش تجمعی در خطای تجمعی به مقدار واحد نزدیکتر گردد سازگاری بهتر مدل یا روش پیش‌بینی‌کننده را نشان میدهد و شبی خط عبوری از نقاط داده‌ها در نمودار فراوانی تجمعی خطها بیانگر میزان پراکندگی مدل میباشد.

خطای تجمعی براساس نسبت توان باربری محاسباتی به مقدار اندازه‌گیری شده برای پنج روش موجود و نیز متد جدید پیشنهادی در شکل ۸ ترسیم شده است. همانطوریکه در شکل شماره ۸ مشاهده میشود روش‌های اشمرتمن، مایر هووف، اوکاتی و آئین نامه مهندسی پی کانادا در فراوانی تجمعی ۵۰٪ دارای نسبت مقادیر ظرفیت باربری محاسباتی به ظرفیت باربری اندازه‌گیری شده بمراتب کمتر از واحد میباشد. در حالیکه روش پیشنهادی ارائه گردیده در فراوانی تجمعی ۵۰٪ دارای نسبت مقادیر ظرفیت باربری محاسباتی به ظرفیت باربری اندازه‌گیری شده تقریباً نزدیک به واحد میباشد. همچنین شبی نمودار متمایل به خط راست که بیانگر میزان تغییرات خطای روشها میباشد در روش پیشنهادی نسبت به روش‌های دیگر کمتر و نیز مقادیر ظرفیت باربری محاسباتی به اندازه‌گیری شده ۳۲ مورد عملی دارای پراکندگی کمی نسبت به خط مزبور میباشد.

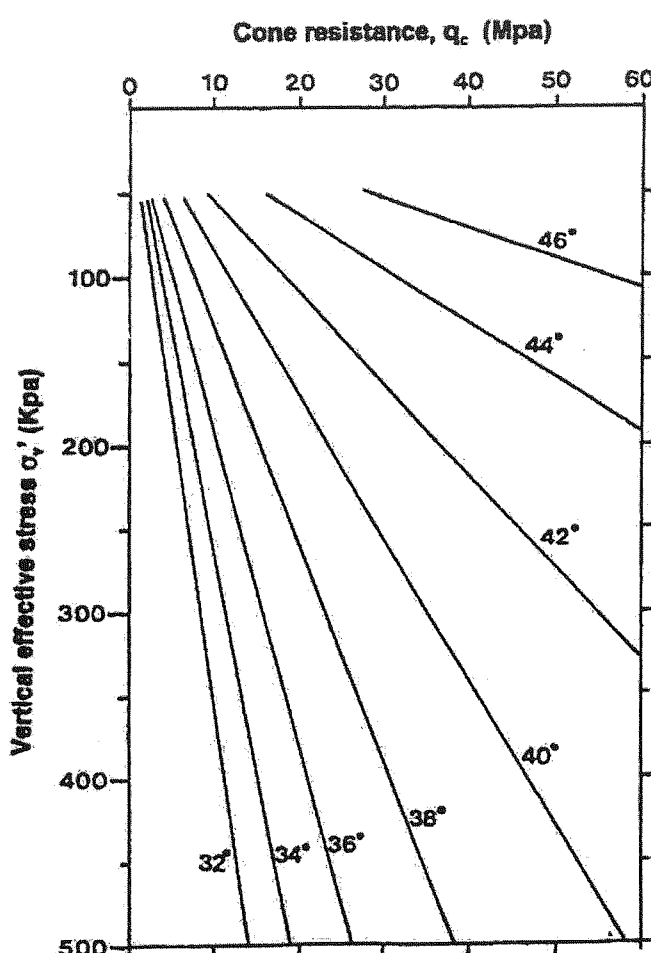
## ۷- نتیجه گیری

تعیین ظرفیت باربری پی‌های سطحی در مقایسه باکنترل نشست و طراحی سازه‌ای از اهمیت ویژه‌ای برخوردار است. از آنجاکه آزمایش نفوذ مخروط، CPT سریع واقتصادی در مطالعات ژئوتکنیک بوده و اطلاعات پیوسته ای را بر حسب عمق در فواصل کوتاه فراهم می‌نماید در این مقاله مبنای آنالیز استاتیکی در تعیین توان باربری قرار گرفته است. روش‌های مستقیم مختلفی توسط محققین در تعیین مستقیم توان باربری پی‌های سطحی با استفاده از نتایج CPT ارائه شده است که اغلب این روشها در دو دهه قبل پیشنهاد شده و کمتر با نتایج بارگذاری پی‌های با ابعاد واقعی و نتایج CPT الکتریکی ارزیابی شده‌اند. و بعلاوه مشکلات عدم ملاحظه هندسه‌پی، عمق استقرار، پردازش داده‌های CPT و مکانیزم گسیختگی از نوع سطحی و یا عمیق را نیز در بر دارند.

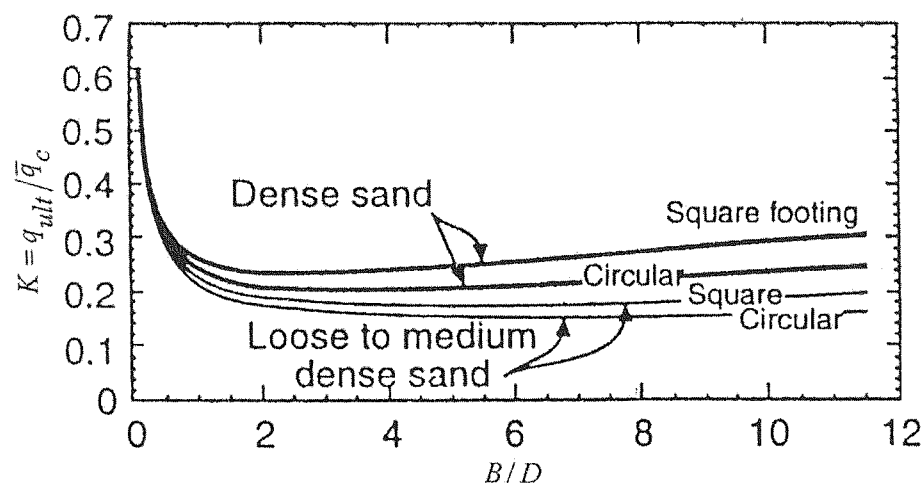
بک مدل تحلیلی بر مبنای مقایسه مسیرهای گسیختگی و مقادیر سربار در حالت برش کلی در زیر پی‌های سطحی و نیز آزمایش نفوذ مخروط CPT بعنوان پی با گسیختگی عمیق ارائه شده است. رابطه‌ای مستقیم بین توان باربری نهایی  $q_{ult}$  و

میانگین مقادیر  $q_c$  در محدوده 2B کف پی تا روی زمین پیشنهاد شده است. جهت فیلترنسیون و پردازش داده‌ها و حذف مقادیر غیر عادی حداقل و حداکثر در نتایج  $q_c$  از میانگین‌گیری هندسی استفاده شده است. بعنوان محک و ارزیابی روش جدید پیشنهادی و روش‌های موجود، ۳۲ مورد عملی پی با ابعاد بین  $0\text{--}3$  متر در پلان و عمق نسبی بین  $0\text{--}2/50$  و توان برابری نهایی بین  $1/70\text{--}15 \text{ kg/cm}^2$  که در کنار آنها نتایج CPT حداقل تا عمق دو برابر عرض پی موجود بوده، تدوین شده در یک بانک اطلاعاتی مبنای کار قرار گرفته است.

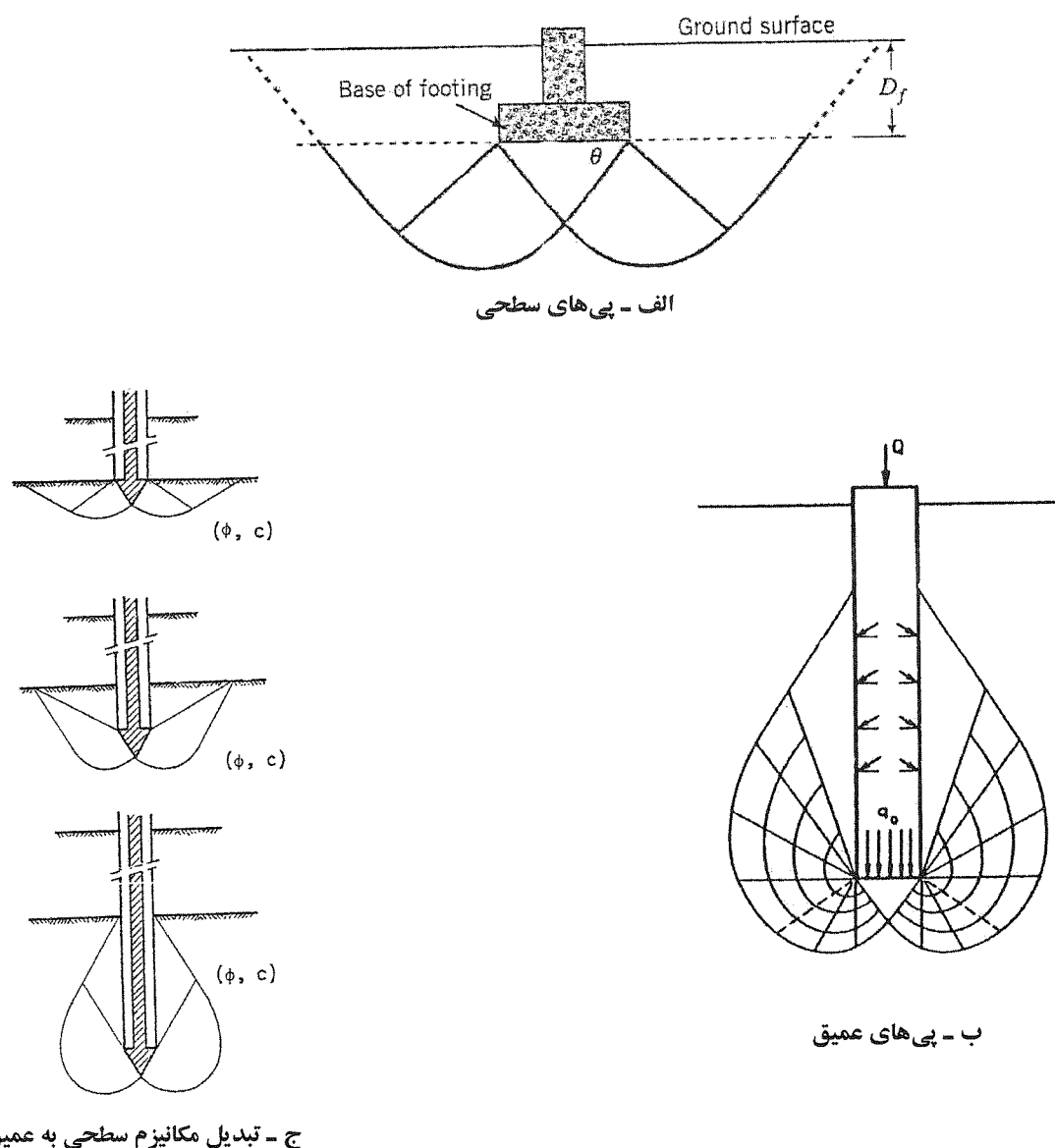
به دو طریق آماری و احتمال، خطاهای نسبی، مطلق و تجمعی در پیش‌بینی ظرفیت برابری روش‌های مختلف محاسبه شده‌اند، که میزان میانگین خطای نسبی برای متدهای مختلف بطور متوسط  $14\%$  با میانگین انحراف معیار  $64\%$ ، میزان میانگین خطای مطلق برای پنج متد بطور متوسط بقرار  $62\%$ ، و متوسط انحراف معیار مطلق  $41\%$  بوده است در حالیکه میزان میانگین خطای نسبی برای روش پیشنهادی برابر  $4\%$  و انحراف معیار  $19\%$ ، میزان میانگین خطای مطلق به قرار  $15\%$  و انحراف معیار  $12\%$  بوده است. بعلاوه مطالعه بر روی فراوانی تجمعی خطاهای بر مبنای توان برابری محاسباتی به مقدار اندازه‌گیری شده نشان میدهد که روش پیشنهادی نسبت به روش‌های دیگر، ظرفیت برابری  $32$  مورد پی سطحی را با خطا و پراکندگی کمتری نسبت به سایر روش‌ها پیش‌بینی نموده است. در مجموع مقایسه با  $5$  روش جاری بر مبنای اطلاعات توان برابری اندازه‌گیری شده مندرج در بانک اطلاعاتی بیانگر این است که روش جدید پیشنهادی برای تعیین توان برابری نهائی پی‌های سطحی،  $q_{ult}$ ، بر مبنای مقاومت کف آزمایش نفوذ مخروط، ( $q_c$ ) نتایج خوب‌بینانه و دقیق قابل قبول را در بر داشته و می‌تواند در طراحیهای ژئوتکنیکی مورد ملاحظه قرار گیرد.



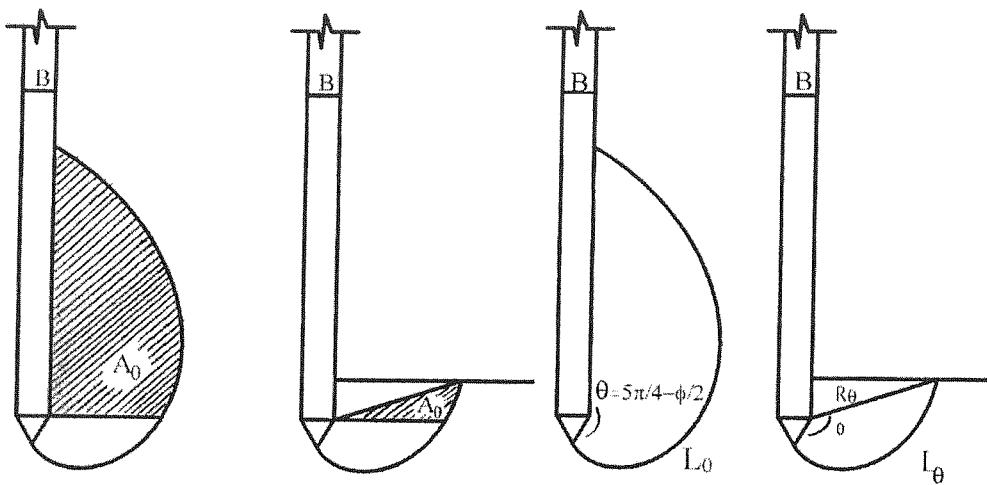
شکل (۱) چگونگی تعیین زاویه اصطکاک داخلی خاک ( $\phi$ ) از مقاومت کف  $q_c$  مربوط به CPT.



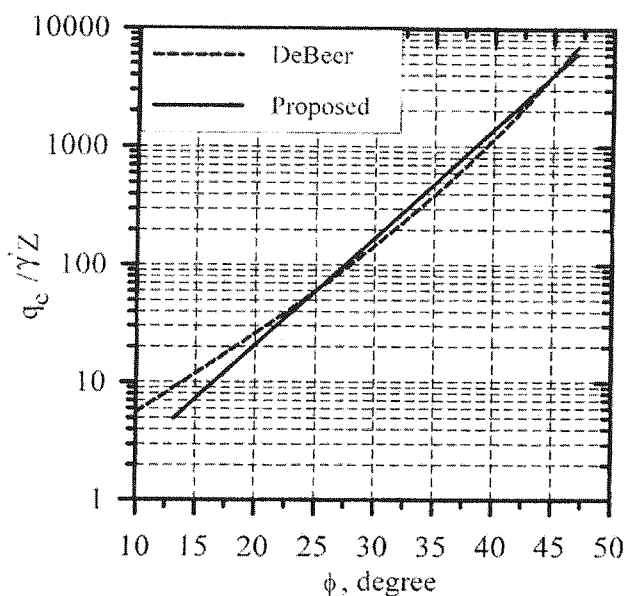
شکل (۲) ضرائب ظرفیت باربری پیشنهادی توسط اسلامیزاد و رابرتсон (Eslamizadeh & Robertson, 1996)



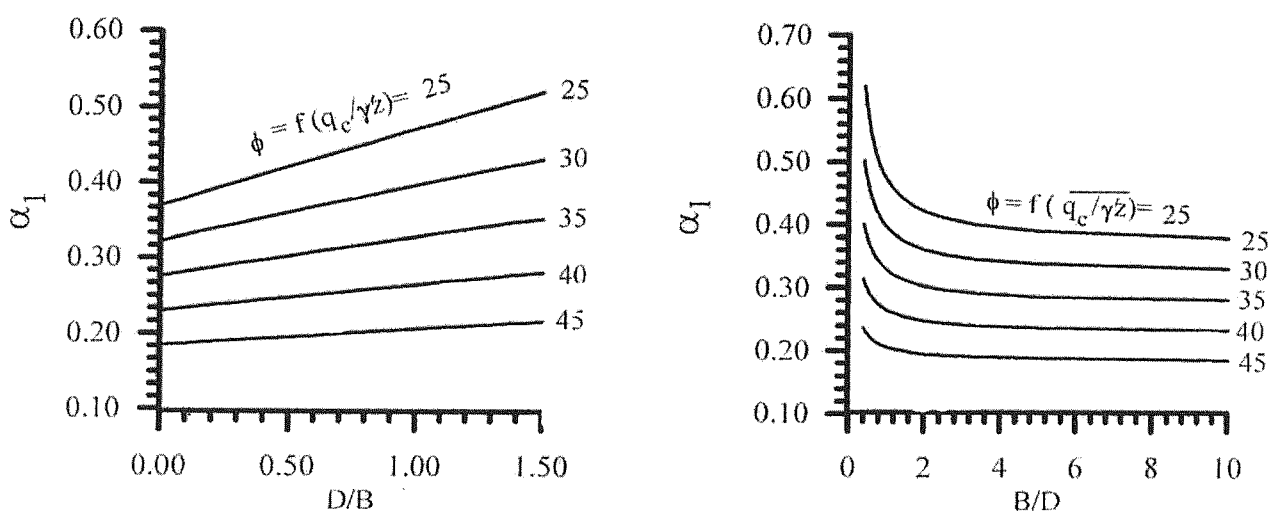
شکل (۳) مکانیزم وقوع گسیختگی در زیر پیه‌ها.



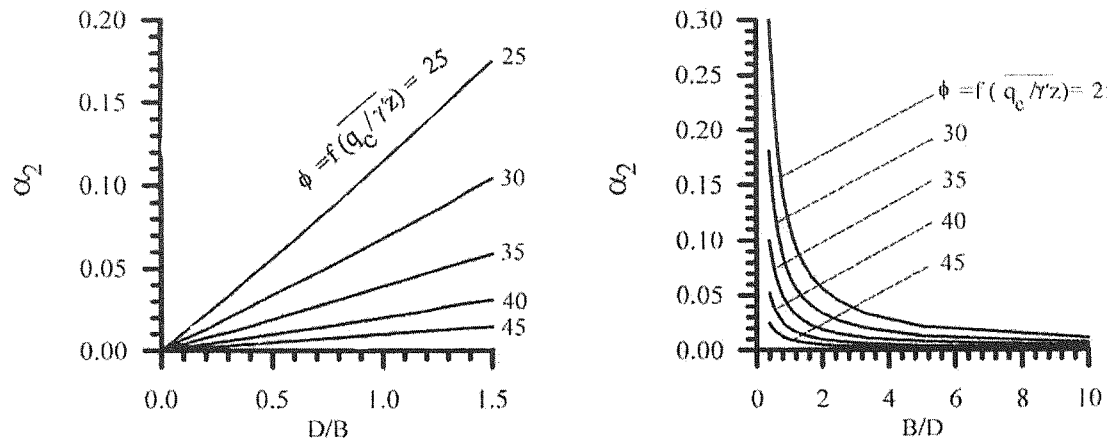
شکل (۴) چگونگی ملاحظه پارامترهای طول و سربار مربوط به مدل پیشنهادی.



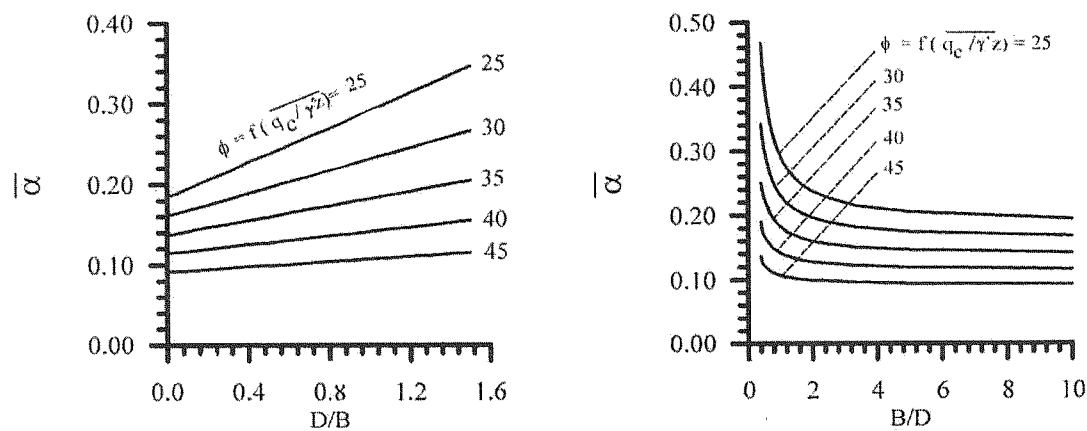
شکل (۵) رابطه بین زاویه اصطکاک داخلی خاک ( $\phi$ ) با نسبت مقاومت مخروط به تنش موثر.



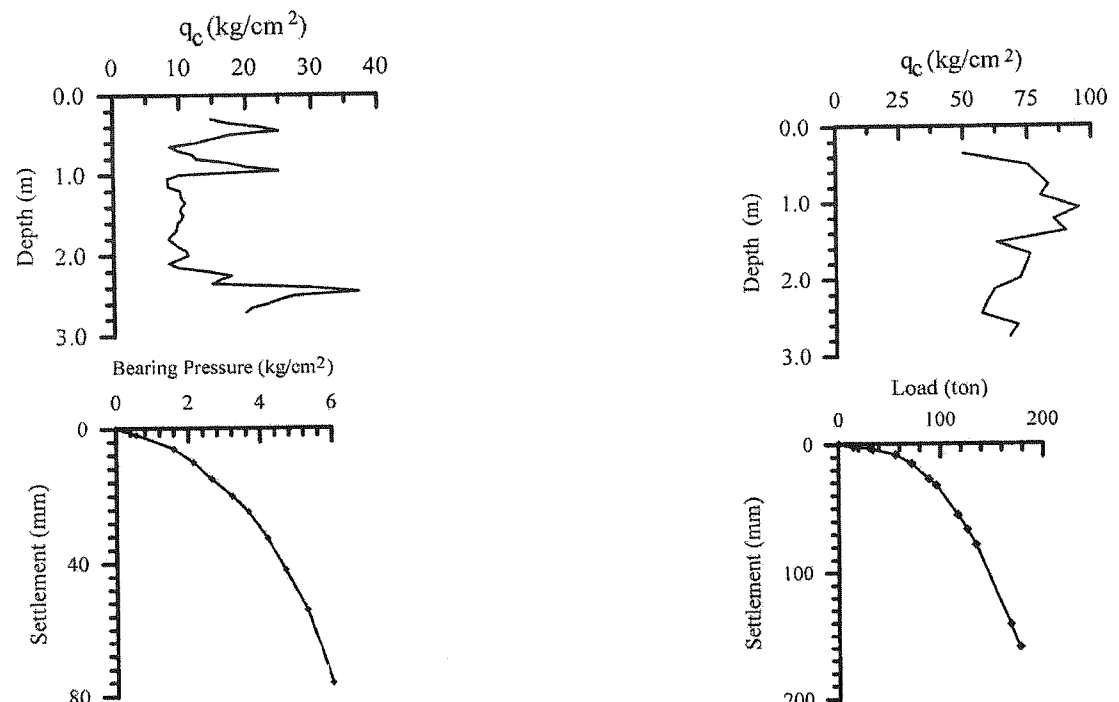
شکل (۶-الف) اثر تغییرات نسبت عرض به عمق یا نسبت عمق به عرض و زاویه ( $\phi$ ) در  $\alpha_1$ .



شکل (۶-ب) اثر تغییرات نسبت عرض به عمق یا نسبت عرض به عرض و زاویه ( $\phi$ ) در  $\alpha_2$

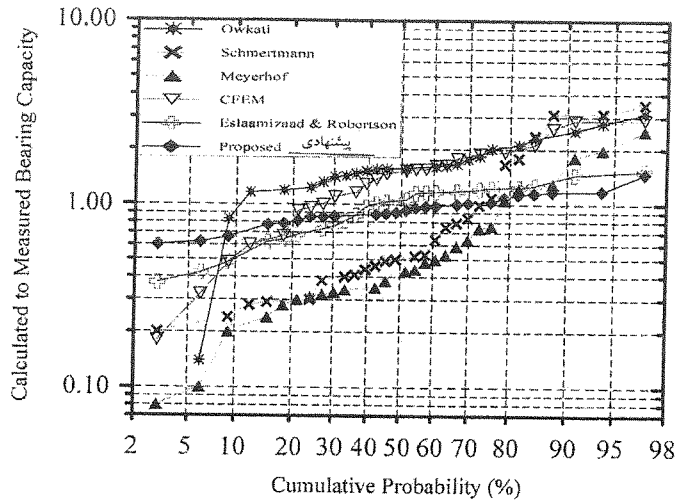


شکل (۶-ج) اثر تغییرات نسبت عرض به عمق یا نسبت عرض به عرض و زاویه ( $\phi$ ) در  $\alpha$



ب - سایت شماره ۱ - [20]

شکل (۷) دو نمونه از نتایج CPT و نتایج بارگذاری - نتست پی‌های جمع‌آوری شده در باتک اطلاعاتی.



شکل (۸) نمودار فراوانی تجمعی خطاهای مختلف و روش پیشنهادی برای ۳۲ مورد عملی.

جدول (۱) مقادیر ضریب ظرفیت باربری ( $\bar{\alpha}$ ) بر حسب  $D/B$  و  $\phi$ .

$D/B$	0	0.1	0.2	0.3	0.4	0.5	0.6	0.7	0.8	0.9	1	1.1	1.2
$\phi = f\left(\frac{q_c}{\gamma \cdot z}\right)$	0.1845	0.195	0.206	0.216	0.228	0.238	0.249	0.26	0.27	0.281	0.292	0.303	0.314
25	0.161	0.168	0.175	0.182	0.19	0.197	0.204	0.211	0.218	0.225	0.232	0.239	0.246
30	0.137	0.142	0.147	0.151	0.156	0.16	0.165	0.17	0.174	0.179	0.183	0.188	0.192
35	0.1145	0.117	0.12	0.123	0.126	0.128	0.131	0.134	0.137	0.139	0.142	0.145	0.147
40	0.092	0.093	0.095	0.097	0.099	0.1	0.101	0.103	0.105	0.106	0.108	0.109	0.111

جدول (۲) خلاصه‌ای از مشخصات خاک بستربنی در موارد عملی جمع آوری شده.

شماره سایت	تعداد موارد عملی	ضخامت لایه m	طبقه بندی خاک محل	$q_c$ محدوده kg/cm <sup>2</sup>	عمق آب زیر زمینی m	درصد رطوبت %	ظرفیت باربری آزمایش بارگذاری kg/cm <sup>2</sup>
I	5	11	SP	40-110	4.9	12-25	15
			SP-SM				
II	4	3.5	ML	17-28	1		3-3.75
III	4	2.5-3	SM لا یه بالا	14-80	1.9	18-25	9.4
			SM لا یه پائین	23-240		15-25	13.5
IV	3	8	SM-SC و SM		---		12.6-12.8
V	5	3.5	CL	5-20	4	24.50-26	1.7
VI	9	3-4	SC,ML,CL,CH	5-30	1	20-25	3.10-6.9
VII	2	5	CL,CH	10-35	---	25	3.10-7.8

جدول (۳) خلاصه مشخصات مربوط به ۳۲ مورد عملی جمع آوری شده در باتک اطلاعاتی.

شماره مورد	شماره سایت و مرجع	نام پی	شکل پی	ابعاد پی (m)	عمق استقرار پی (m)	عمق نسبی (D/B)	نشست نسبی(%)	مقاومت نهائی (kg/cm <sup>2</sup> )
1	I, [15]	F5	مرربع	1	0.71	0.71	10	15
2	I, [15]	F2	مرربع	1.5	0.76	0.51	10	15
3	I, [15]	F4	مرربع	2.5	0.76	0.3	10	15
4	I, [15]	F1	مرربع	3	0.76	0.25	10	15
5	I, [15]	F3	مرربع	3	0.89	0.3	10	13
6	II, [16]	F1	مرربع	1	0	0	6	3.75
7	II, [16]	F2	مرربع	1	0	0	6	3.7
8	II, [16]	F3	مرربع	1	0	0	6	3
9	II, [16]	F4	مرربع	1	0	0	6	3.25
10	III, [17]	WS	دایره	1.75	2.35	1.34	10	11.5
11	III, [17]	WN	دایره	1.75	2.35	1.34	10	11.5
12	III, [17]	EW	دایره	2	2.2	1.1	10	7.5
13	III, [17]	EE	دایره	1.88	2.16	1.15	10	9.5
14	IV, [18]	PLT1	مرربع	0.6	0	0	-	12.6
15	IV, [18]	PLT2	مرربع	0.6	0	0	-	12.6
16	IV, [18]	PLT3	مرربع	0.6	0	0	-	12.8
17	V, [19]	PL1	دایره	0.3	0	0	1	1.7
18	V, [19]	PL2	دایره	0.3	0	0	1	1.7
19	V, [19]	PL3	دایره	0.45	0	0	1	1.7
20	V, [19]	PL4	دایره	0.6	0	0	1	1.7
21	V, [19]	PL5	دایره	0.6	0	0	1	1.7
22	VI, [20]	PLP1	دایره	0.6	1.5	2.5	12	6
23	VI, [20]	PLP2	دایره	0.6	1.5	2.5	12	6
24	VI, [20]	PLP3	دایره	0.6	1.5	2.5	12	6
25	VI, [20]	PL4	دایره	0.6	1.5	2.5	11	5.2
26	VI, [20]	PL5	دایره	0.6	1.5	2.5	15	3.1
27	VI, [20]	PL6	دایره	0.6	1.5	2.5	15	3.1
28	VI, [20]	PL7	دایره	0.6	1.5	2.5	10	6.9
29	VI, [20]	PL8	دایره	0.6	1.5	2.5	10	6.9
30	VI, [20]	PL9	دایره	0.6	1.5	2.5	10	6.9
31	VII, [20]	F1	مرربع	2.2	2.2	1	-	7.8
32	VII, [20]	F2	مرربع	1	1.5	1.5	-	2.1

جدول (۴) مقایسه تغییرات خطای نسبی روشهای مختلف تعیین ظرفیت باربری پیهای سطحی براساس نتایج CPT.

پارامتر تغییرات خطای نسبی روش	میانگین خطای نسبی (%)	انحراف معیار خطای نسبی	میانگین خطای مطلق (%)	انحراف معیار خطای مطلق
روش اسلامیزاد و رابرتسون Eslaamizadd, and Robertson, (1996)	-2	32	27	17
روش مایرهاوف (1956) Meyerhof(1956)	-35	58	61	28
روش اشمرتمان (1978) Schmertmann (1978)	-3	99	77	61
روش آبین نامه پی کانادا CFEM,(1992)	49	72	69	52
روش اوکاتی (1970) Owkati,(1970)	62	63	74	49
متوسط خطاهای روشهای موجود	14.2	64.8	61.6	41.4
روش پیشنهادی	-4	19	15	12

### زیر نویسها

- 1-Static Analysis
- 2-Footing Load Test
- 3-Pressumed Bearing Capacity
- 4-In-Situ Testing Methods
- 5-Cone Penetration Test
- 6-Canadian Foundation Engineering Manual

### مراجع

- [1] Lunne, T., & Robertson, P. K., and Powell, J. J., Cone penetration test in geotechnical practice, Blackie Academic & Professional, 1997.
- [2] Schmertmann, J. H., 1978. Guidelines for cone test, performance and design. Federal Highway Administration, Report FHWA-TS-78209, Washington, 145 p.
- [3] Bowels, J, E, 1996. Foundation analysis and design. 5th Ed. McGraw-hill Publishers, United State, 1175 p.
- [4] Canadian Foundation Engineering Manual, CFEM, 1992. Third Ed, Canadian Geotechnical Society, BiTech. Publishers, Vancouver, 512 p.
- [5] Eslaamizaad, S, and Robertson, P.K, 1996. Cone penetration test to evaluate bearing capacity of foundation in sands, Proceeding of 49th Canadian Geotechnical Society, pp. 429-438.
- [6] Kimura, T, Kusakabe, O., and Saitoh, k., 1985. Geotechnical model tests of bearing capacity problems in a centrifuge. Geotechnique, Vol. 35, No. 1 , pp. 33-45.
- [7] Meyerhof, G. G., 1976. Bearing capacity and settlement of pile foundations. The Eleventh Terzaghi Lecture, November 5, 1975, American Society of Civil Engineers, ASCE, Journal of Geotechnical Engineering, Vol. 102, GT3, pp. 195 - 228.
- [8] Eslami, A., and Fellenius, B. H., 1995. Toe bearing capacity of piles from cone penetration test (CPT) data.

- Proceedings of International Symposium on Cone Penetration Testing, CPT'95, Linkoping, Sweden, SGI Report 3:95, Vol. 2, pp. 453-460.
- [9] Eslami, A., and Fellenius, B. H., 1997. Pile capacity by direct CPT and CPTu methods applied to 102 case histories. Canadian Geotechnical Journal, Vol. 34, No. 6, pp. 880 - 898.
- [10] Nottingham, L. C., 1975. Use of quasi – static friction cone penetrometer data to predict load capacity of displacement piles. Ph. D. Thesis, Dept. of Civil Engineering., University of Florida, 553pp.
- [11] Narita, K., and Yamaguchi, H., 1989. Analysis of bearing capcaity for log-spiral sliding surfaces. Soils and Foundations Journal, Vol. 29 no.2 June, pp. 85-89
- [12] اسلامی ابوالفضل و غلامی آهنگران، مهدی - ۱۳۸۱، توان باربری پیهای سطحی با استفاده از نتایج تست نفوذ مخربو، سومین همایش بین المللی مهندسی زئوتکنیک و مکانیک خاک - پژوهشگاه نیرو - تهران، صفحات ۹۲ تا ۹۷
- [13] Briaud, J.L., and Gibbens, R.M., 1994. Behavior of five large spread footing on sand. Journal of Geotechnical and geoenvironmental Engineering. September, Vol. 125, No. 9, pp. 787-796.
- [14] Long, J. H., and Shimel, I. S., 1989. Drilled shafts, a data-base approach. American Society of Civil Engineers, Proceedings of Foundation Engineering Congress: Current Principles and Practices, ASCE Geotechnical Special Publication, June 25 - 29, GSP 22, Vol. 2, pp. 1091 - 1108.
- [15] Briaud, J.L., and Gibbens, R.M., 1994. Behavior of five large spread footing on sand. FHWA Pridiction Symp, ASCE Spec. pub, No 41, New York, 255 p.
- [16] Amar, S.. 1979. Experimental study in full scale of shallow foundation behavior. Proceeding of 6th European Conference on Soil Mechanics and Foundation Engineering, pp. 199-204.
- [17] Tand, K., Funegard, E., and Warden, 1994. Footing load test on sand. Vertical and Horizontal Deformations of Foundations and Embankments, ASCE Geotechnical Special Publication No. 40, Vol. 1,8 pp. 164-178.
- [18] صنیعی، همایون، ۱۳۷۲، روشی نوین جهت تعیین ظرفیت باربری پیهای مسطح در زمینهای غیر چسبنده از نتایج آزمایش نفوذ استاتیکی (Dutch Cone) - ۵ - خرداد مجموعه مقالات دومین سمینار بین المللی مکانیک خاک و مهندسی بی ایران، صفحات ۱۴۸ - ۱۳۳
- [19] Consoli N.C., Schnaid, F., and Milititisky, J., 1998. Interpretation of load tests of residual soil. Journal of Geotechnical and geoenvironmental Engineering, September, Vol. 124, No. 9, pp. 857-867.
- [20] Tand, K., Funegard, E., and Warden, P., 1986. Bearing capacity of footing on clay CPT method. Proceeding of American Society of Civil Engineers, ASCE, In - Situ 86 Speciality Conference, Blaksburg, June 23-25, Geotechnical Special Publication GSP 6, pp. 1017-1033.